

بررسی ساختاری و ریزساختاری گرافن سنتز شده به روش آسیای مکانیکی در حضور NMP

نوع مقاله: علمی پژوهشی

آیدا رحمتی، ریحانه گودرزی، هاجر قنبری*

دانشکده مهندسی مواد و متالورژی، دانشگاه علم و صنعت ایران، تهران، ایران

*hajar_ghanbari@iust.ac.ir

اطلاعات مقاله:

دریافت: ۷ آبان ۱۳۹۹

پذیرش: ۱۶ دی ۱۳۹۹

کلیدواژه:

سنتر، گرافن، آسیای ماهواره‌ای،
عامل دار کردن، ورقه‌ورقه کردن

گرافن به عنوان اولین ماده‌ی دوبعدی کشف شده، روند رو به رشدی را برای کاربرد در صنایع مختلف طی می‌کند. در این پژوهش، برخی پارامترهای مؤثر بر خواص ساختاری و ریزساختاری گرافن سنتز شده در حضور حلال ۷-پیرولیدون (NMP) و به کمک آسیای مکانیکی تر بررسی شده است. این پارامترهای متغیر شامل مقدار گرافیت، غلظت گرافیت در حلال، نسبت وزنی گلوله به گرافیت و زمان آسیا هستند. نتایج حاصل از آنالیزهای میکروسکوپ الکترونی رویشی نشر میدانی (FESEM)، طیف‌سنجی رaman و تبدیل فوریه مادون قرمز (FTIR) نشان داد که حالت بهینه با انتخاب نسبت وزنی گلوله به گرافیت ۲۵ به ۱، غلظت گرافیت در 20 g/ml NMP و زمان شش ساعت حاصل می‌شود. در انتهای، امکان استفاده از مخلوط ملامین و اوره برای ورقه‌ورقه کردن و عامل دار کردن گرافن به وسیله آسیای ماهواره‌ای بررسی شد که بنابر نتایج حاصل، این مخلوط، ترکیب مؤثری برای ورقه‌ورقه کردن و عامل دار کردن همزمان گرافیت است.

۱ - مقدمه

حرارتی بالا، قابلیت عبور نور و رفتار فوق آبگریز در مقیاس نانومتری، انقلابی در علوم ایجاد کردہ است [۱].

با توجه به ویژگی‌های ذکر شده، گرافن می‌تواند کاربردهای مختلفی؛ از جمله استفاده در حسگرهای زیستی، ترانزیستورها، الکترودها، باتری‌ها و ابرخازن‌ها داشته باشد. برای تولید نانوورقه‌های گرافن روش‌های گوناگونی وجود دارد که با توجه به نوع ماده‌ی اولیه، هزینه، کیفیت محصول

گرافن، تک لایه‌ای از اتم‌های کربن با پیوند sp^2 در یک شبکه لانه زنیوری است. دگر شکل‌های نانومتری مواد کربنی عبارتند از: فولرن‌ها (صفر بعدی)، نانولوله‌های کربنی (یک بعدی) و گرافن (دو بعدی). گرافن به دلیل ویژگی‌های فوق العاده‌ای همچون چگالی اتمی بالا، خنثایی شیمیایی، هدایت



پودری در صنعت و گزینه خوبی برای اعمال نیروی برشی بر مواد است. در بسیاری از آسیاهای گلوله‌ای، دو نیرو وظیفه‌ی تورق و خردکردن ذرات گرافیت را بر عهده دارند. نیروی برشی، اولین نیروی مناسب جهت ورقه کردن و دستیابی به ورقه‌های گرافنی با اندازه‌ی بزرگ است. اگرچه، نیروی حاصل از برخورد عمودی توسط گلوله‌های در حال غلظیدن بر ذرات نیز غیرقابل اجتناب است. این نیرو باعث کاهش ابعاد طولی ورقه‌ها می‌شود و حتی در صورت عدم کنترل می‌تواند سبب از بین رفتن ساختار بلوری و آمورف شدن شود[۷]. بنابراین برای دستیابی به ورقه‌های با اندازه بزرگ و کیفیت بالا لازم است که نیروی عمودی کاهش یابد[۸]. از مهم‌ترین مزیت‌های استفاده از آسیای ماهواره‌ای می‌توان به انرژی بالای آن برای همزمانی عامل‌دارکردن و ورقه‌ورقه کردن گرافیت اشاره کرد[۹]. ویژگی‌های پودرهای آسیا شده به عنوان محصول نهایی به شرایط آسیاکاری و کنترل و تنظیم آن برای دستیابی به محصول نهایی بهتر وابسته است. از جمله‌ی این پارامترها می‌توان به زمان آسیا، محیط آسیا، نسبت وزن ابزار آسیا به پودر اشاره کرد[۱۰]. پراکندگی گرافن در حلال‌های آلی همزمان به عامل‌دارشدن گرافن به وسیله‌ی چندین گروه عاملی کمک می‌کند. هدف اصلی عامل‌دارکردن، قابلیت تورق گرافن در حلال‌های آلی است که معمولاً پس از الصاق گروه‌های آلی خاص به دست می‌آید. تورق ورقه‌های گرافن در حلال‌های آلی می‌تواند قدم مؤثری برای ساخت مواد نانو کامپوزیتی گرافن دار باشد [۱۱]. ژائو^۱ و همکاران [۱۲] با استفاده آسیای مکانیکی تر در حضور حلال آلی DMF، از گرافیت با ضخامت ۳۰-۸۰ nm

و کاربرد نهایی، بسیار متنوع هستند. روش‌های سنتز گرافن بر مبنای دو رویکرد پایین به بالا و بالا به پایین توسعه یافته اند. تولید گرافن با کیفیت مناسب و به روشی ارزان، همچنان چالش بزرگی است [۲].

از آسیا معمولاً برای اختلاط و کاهش اندازه‌ی ذرات و گاهی برای تورق استفاده می‌شود. پژوهشگران برای لایه‌برداری ورقه‌های گرافنی از گرافیت به کمک آسیا، در مواردی از مغناطیس و گاهی نیز از مواد شیمیایی و حلال‌ها استفاده می‌کنند[۳]. برای تولید گرافن به کمک آسیا از فنون مختلفی بهره گرفته می‌شود که شامل پراکندن گرافیت در حلال‌های آلی، سنتز نانوورقه‌های عامل‌دارشده گرافن به وسیله آسیای مکانوشیمیایی، سنتز نانوورقه‌های گرافن با استفاده از آسیای گلوله‌ای در حضور یخ خشک و بسیاری از روش‌های دیگر است. در ورقه‌ورقه شدن گرافیت به کمک حلال‌ها، از حلال‌هایی چون

- NMP (N-Methyl-2-Pyrrolidone)
- DMF (Dimethylformamide)
- IPA (Isopropyl Alcohol)
- GBL (γ -Butyrolactone) و...

استفاده شده است [۴، ۵]. مهم‌ترین ویژگی این حلال‌ها، کشش سطحی است. در صورتی که (dispersive Hansen solubility parameter) $D\delta$ برای یک حلال بین ۱۵-۲۱ MPa باشد، امکان تورق گرافیت به این روش وجود دارد. $D\delta$ برای حلال NMP حدود ۱۸ MPa گزارش شده است که نشان می‌دهد حلال مناسبی جهت ورقه‌ورقه کردن گرافیت است [۶]. آسیای گلوله‌ای، یک روش متداول برای فرآوری‌های

^۱ Zhao



۲- فعالیت‌های تجربی

۱-۲ مواد اولیه

گرافیت (اندازه ذرات ۳۲۵ میکرون)، n-متیل-۲-پیرولیدون Samchun، خلوص ۹۹/۵٪، C₅H₉NO، NMP) (Merck)، ملامین (C₃H₆N₆)، chemicals (Samchun chemicals، خلوص ۹۹٪)، اوره (CH₄N₂O)، خلوص ۹۹٪، استون (CH₃(CO))، خلوص ۹۹/۸٪ (Merck) و اتانول (Samchun chemicals، خلوص ۹۶٪)، C₂H₅OH) مواد اولیه مورد استفاده در این پژوهش هستند.

۲-۲ آماده‌سازی نمونه‌ها

در مرحله‌ی اول، گرافیت، حلال و گلوله‌های زیرکوئیا (آسیا کاری) در محفظه‌های زیرکوئیا آسیای ماهواره‌ای (صنعت سرام مهر البرز، ایران) با نسبت‌های ذکر شده در جدول توزین شدند. آسیا کاری به مدت ۶ h با سرعت دیسک ۴۰۰ rpm و سرعت محفظه ۲۰۰ rpm در اتمسفر هوا انجام شد. پس از ۶A اتمام آسیا کاری و جدا کردن گلوله‌ها از مواد، دو نمونه‌ی ۶B حاصل شد که به مدت ۳۰ min و با سرعت ۱۰۰۰ rpm توسط سانتریفیوژ (مدل 320 PIT، پل ایده آل پارس، ایران) جداسازی شدند. سپس قسمت‌های زیری (p) و رویی (s) جدا شدند. به این ترتیب هر دو نمونه‌ی ۶A و ۶B به نمونه‌های ۶As و ۶Bs که قسمت‌های رویی و ۶Ap و ۶Bp که قسمت‌های زیری هستند، تقسیم شدند. در ادامه، نمونه‌هایی که از قسمت‌های رویی فالکون‌ها در مرحله‌ی قبل جدا شده بودند (As ۶ و Bs ۶)، برای سانتریفیوژ دور دوم به مدت ۱۵ min و با سرعت ۴۰۰۰ rpm آماده شدند. به این ترتیب، نمونه‌های ۶Ass و ۶Bss

، صفحات گرافنی (۳ nm ≤ لایه) با ضخامتی برابر ۸/۱ nm از سنتز کردند. علاوه بر این، آل-شربینی^۲ و همکاران^[۴] از نفت سفید و ۲-اتیل هگزانول برای ورقه‌ورقه کردن گرافیت استفاده کردند که مشخصات گرافن تهیه شده از حلال نفت سفید، چگالی عیوب بالا و تعداد لایه‌ی کم بود؛ در حالی که گرافن حاصل از حلال ۲-اتیل هگزانول، کم عیوب و چند لایه بود. همچنین، علاوه بر حلال‌های آلی، ریو-کاستنیلو^۳ و همکاران^[۱۳] از ملامین به عنوان عامل ورقه‌ورقه کردن گرافیت و سنتز گرافن تک لایه استفاده کردند.

در این پژوهش، با هدف بررسی اثر پارامترهای مختلف آسیا بر روی سنتز گرافن، از آسیای ماهواره‌ای و محیط حلال NMP استفاده شده است. همچنین، اثر حضور ملامین و اوره در فرآیند تورق بررسی شد. در انتهای، نمونه‌ها با آنالیزهای میکروسکوپ الکترونی روبشی نشر میدانی (Field Emission Scanning Electron Microscope,) (FESEM، طیف‌سنجی رامان (Raman spectroscopy) و تبدیل فوریه مادون قرمز (Fourier-Transform Infrared spectroscopy, FTIR) بررسی و نتایج تغییر پارامترها گزارش شد. لازم به ذکر است که استفاده از مخلوط اوره و ملامین به عنوان نوآوری این پژوهش در نظر گرفته شده است. بنابر نتایج حاصل، حالت بهینه با انتخاب نسبت وزنی گلوله به گرافیت ۲۵ به ۱، غلظت گرافیت در ۲۰ NMP g/ml و زمان شش ساعت حاصل می‌شود. علاوه بر این، حضور مخلوط ملامین و اوره در ورقه‌ورقه و عامل‌دار کردن گرافیت مؤثر است.

^۱ Al-Sherbini

^۲ Rio-Castillo

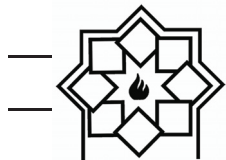


که قسمت های رویی فالکون و نمونه های 6Asp و 6Bsp که قسمت های زیری هستند، تهیه شدند. سپس، نمونه های 6 Asp و 6 Bsp برای انجام آنالیزهای طیف سنجی رaman و نمونه ی 9Bss برای آنالیز FTIR آماده شدند. نمونه های 3Bss و 12Bss برای آنالیز FESEM بار دیگر به مدت ۱۲ min با سرعت ۱۰۰۰ rpm سانتریفیوژ شدند و قسمت رویی و زیرین آنها جدا شد. در مرحله ی سوم، با هدف بررسی عامل دار شدن گرافن، نمونه ای مشابه دو مرحله‌ی پیشین، با سرعت دیسک ۴۰۰ rpm، سرعت محفظه ۲۰۰ rpm و زمان ۶ h در اتمسفر هوا در حضور ملامین و اوره با نسبت های ذکر شده در جدول ۱ در آسیای ما هواره ای فرآوری شدند. نمونه های زیرین در مرحله نیز طی دو مرحله سانتریفیوژ شد.

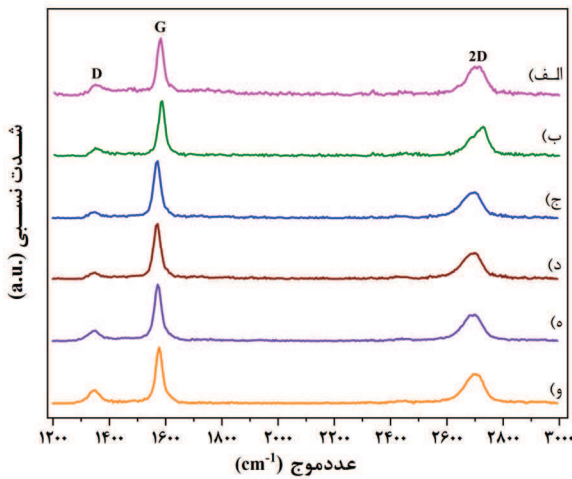
که قسمت های رویی فالکون و نمونه های 6Asp و 6Bsp که قسمت های زیری هستند، تهیه شدند. سپس، نمونه های 6 Asp و 6 Bsp برای انجام آنالیزهای طیف سنجی Raman و نمونه ی 9Bsp برای آنالیز FTIR آماده شدند. در مرحله دوم، با هدف سنجش عامل زمان، سه نمونه مانند مرحله اول در آسیای ما هواره ای با سرعت دیسک ۴۰۰ rpm و سرعت محفظه ۲۰۰ rpm در بازه های زمانی ۳، ۹ و ۱۲ ساعت در اتمسفر هوا تحت آسیا قرار گرفتند. این بار نیز نمونه ها در دو مرحله سانتریفیوژ شدند. بدین ترتیب، نمونه ی 3B به 3Bsp و 3Bss و نمونه ی 9B به 9Bsp، 9Bss و نمونه ی 12B به 12Bsp آنالیز شدند.

جدول ۱ - مشخصات نمونه های آماده شده در سه مرحله پس از آسیا کاری مکانیکی تر در حضور حلال NMP

کد نمونه	میزان گرافیت (g)	میزان NMP (ml)	میزان ملامین (g)	میزان اوره (g)	وزن گلوله به گرافیت	نسبت وزن گلوله به گرافیت	نسبت گرافیت به NMP (g/ml)	زمان آسیا (h)	تعداد دور سانتریفیوژ	قسمت جداسازی شده در سانتریفیوژ
6Asp	.۰/۶	۶۰	-	-	۵۰:۱	۱۰	۱۰	۶	۲	زیرین
6Bsp	۱/۲	۶۰	-	-	۲۵:۱	۲۰	۲۰	۶	۲	زیرین
3Bss	۱/۲	۶۰	-	-	۲۵:۱	۱۰	۱۰	۳	۲	رویی
9Bss	۱/۲	۶۰	-	-	۲۵:۱	۱۰	۱۰	۹	۲	رویی
9Bsp	۱/۲	۶۰	-	-	۲۵:۱	۲۰	۲۰	۹	۲	زیرین
12Bss	۱/۲	۶۰	-	-	۲۵:۱	۱۰	۱۰	۱۲	۲	رویی
12Bsp	۱/۲	۶۰	-	-	۲۵:۱	۲۰	۲۰	۱۲	۲	زیرین
12Bsss	۱/۲	۶۰	-	-	۲۵:۱	۱۰	۱۰	۱۲	۳	رویی
12Bssp	۱/۲	۶۰	-	-	۲۵:۱	۲۰	۲۰	۱۲	۳	زیرین
6BUsp	.۰/۶	۳۰	.۰/۰۷	.۰/۰۷	۲۵:۱	۲۰	۲۰	۶	۲	زیرین



حوالی عدموج $2650\text{--}2700\text{ cm}^{-1}$ مربوط به باند 2D است. در شکل ۱ (ب-و) نسبت به شکل ۱ (الف)، تغییر در عدموج ها دیده می شود. با وجود تغییر مکان محل تشکیل باندها، به دلیل دقت دستگاه (6 cm^{-1} ، امکان استفاده از این شکل برای بررسی انتقال نمونه‌ها وجود ندارد.



شکل ۱- طیف رامان نمونه‌های (الف) گرافیت، (ب) 6 Asp ، (ج) 3 Bsp ، (د) 6 Bsp ، (ه) 9 Bsp و (و) 12 Bsp

در بررسی طیف رامان، قله‌های D به علت بی‌نظمی در اتم‌های کربن هیبرید شده sp^2 پدیدار می‌شود و نمایانگر میزان عیوب ورقی گرافیتی یا نانوورقه‌های گرافنی است، قله‌ی G به علت پیوند C-C با هیبریداسیون sp^3 در مواد گرافیتی است و به وسیله‌ی پراکندگی فونون E_{2g} ایجاد شده است که مستقیماً به ضخامت ورقه‌های گرافیتی مرتبط است. قله 2D (یا G') در $2650\text{--}2700\text{ cm}^{-1}$ حساس به تعداد لایه‌های گرافن است و در درجه‌ی اول برای شناسایی تک لایه، دولایه و چندلایه گرافن به وسیله شکل، پهنا و مکان قله 2D مورد استفاده قرار می‌گیرد. تغییر مکان قله 2D به عدموج های بالاتر و پهن شدگی آن، افزایش تعداد لایه‌ها

بدین ترتیب، نمونه‌ی 6BU به نمونه‌های 6BUss، 6BUp و 6BUsр تقسیم شدند. سپس نمونه‌ی 6BU برای انجام آنالیز طیف سنجی FTIR و برای گرفتن تصاویر FESEM آماده شد.

۳-۲- آنالیز و مشخصه‌یابی

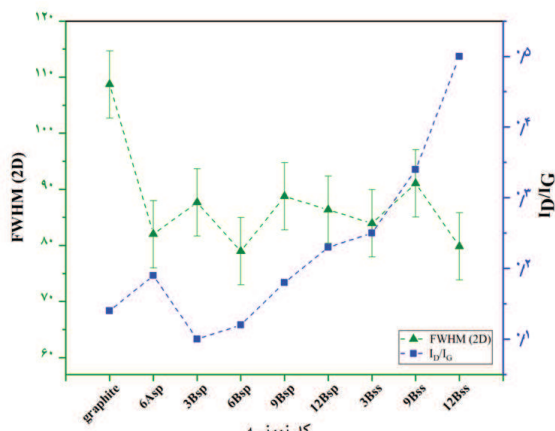
آنالیزهای طیف سنجی رامان (مدل Takram، شرکت Teksan kv MIRA3TESCAN-XMU) FESEM (مدل Thermo Avatar، آمریکا) برای نمونه‌هایی که در بخش قبل بیان شد، استفاده شدند. برای آنالیز FTIR و FESEM، نمونه‌ها روی ویفر سیلیکونی شسته شده، اعمال شدند. برای شستشو، در دو مرحله ویفرها در اتانول و استون به ترتیب به مدت ۱۰ min در حمام تحت امواج فرا صوت (Fritsch، آلمان) قرار گرفتند. سپس نمونه‌ی آماده شده روی ویفر سیلیکونی با کمک سمپلر به روش ریزش قطره آماده سازی شد.

۳- نتایج و بحث

برای بررسی تغییرات گرافن‌های سنتز شده در مرحله‌ی اول (6Asp، 6Bsp) نسبت به گرافیت اولیه و همچنین بررسی اثر زمان آسیاکاری تر بر ساختار گرافن‌های سنتز شده در مرحله‌ی دوم، از آنالیز طیف سنجی رامان استفاده شد. طیف رامان نمونه‌های گرافیت اولیه، 6Asp، 6Bsp، 3Bsp، 9Bsp و 12Bsp در شکل ۱ قابل مشاهده هستند. در طیف رامان هر شش نمونه، سه قله دیده می‌شود که قله‌ی اول در حوالی عدموج 1350 cm^{-1} مربوط به باند D، قله‌ی دوم در حوالی عدموج 1580 cm^{-1} به باند G و قله‌ی سوم در



موجود در ساختار گرافن [۱۶، ۴] در نمونه ۶Asp است که ممکن است به دلیل خردتر بودن و اندازه‌ی طولی کم تر ذرات این نمونه باشد که سبب شده است لبه‌ها بیشتر و به نسبت عیوب نیز بیشتر شود. در واقع می‌توان گفت که افزایش نسبت وزن بیش از حد گلوله به گرافیت باعث کاهش ابعاد طولی ورقه‌ها می‌شود که احتمالاً ناشی از افزایش جرم گلوله‌ها است؛ در حالی که کاهش ضخامت نیز در این افزایش نسبت رخ نمی‌دهد. بنابراین افزایش نسبت وزنی گلوله به گرافیت باعث کاهش ابعاد طولی ورقه‌ها است و مسیر نهایی برای کاهش ضخامت نیست. از همین رو مابقی بررسی‌ها بر روی نمونه‌ی مطلوب‌تر ۶Bsp، ادامه یافته.



شکل ۲- مقایسه‌ی مقادیر FWHM برای قله ۲D و I_D/I_G نمونه‌های (الف) گرافیت، (ب) ۶Asp، (ج) ۳Bsp، (د) ۶Bsp، (ه) ۹Bsp و (و) ۱۲Bsp

در مقایسه‌ی I_D/I_G در نمونه‌های مختلف (شکل ۲)، می‌توان نشان داد که I_D/I_G در تمام نمونه‌های رسوب (p) نسبت به سرریزها (s) دارای I_D/I_G کمتری هستند (۳Bsp, 3Bss, 9Bsp, 9Bss, 12Bsp, 12Bss). این بدین معناست که

را نشان می‌دهد. به طور کلی، در تک لایه گرافن، شدت قله ۲D بزرگ‌تر از شدت باند G است و نسبت I_{2D}/I_G معادل ۴ است که نشان-دهنده کیفیت گرافن است. باند ۲D برای گرافیت توده ای به دو قله و برای گرافن دو لایه به چهار قله تقسیم می‌شود. افزایش تعداد لایه‌ها شدت نسبی ۲D را کاهش و FWHM (عرض قله در نصف بیشینه‌ی شدت) آن را افزایش می‌دهد [۱۵، ۱۴]. بنابراین، همانطور که در شکل ۱ قابل مشاهده است، با توجه به کوتاه‌تر بودن قله ۲D نسبت به G و کاهش میزان چند قله‌ای بودن باند ۲D در نمونه‌های گرافنی نسبت به گرافیت اولیه، به نظر می‌رسد که گرافن چندلایه و نه بالک و نه تک لایه تشکیل شده است.

برای بررسی دقیق‌تر طیف‌های رامان، پارامترهای FWHM برای قله ۲D و نسبت I_D/I_G نمونه‌ها در شکل ۲ رسم شده‌است. به طور کلی در نمونه‌های گرافن ایزوله، اگر FWHM قله ۲D حدود 30 cm^{-1} باشد، گرافن تک‌لایه و اگر حدود 60 cm^{-1} باشد، گرافن چندلایه است [۱۵]. بنابراین، با توجه به اینکه مقدار FWHM برای تمام نمونه‌های گرافنی در حدود 80 cm^{-1} گزارش شده است، می‌توان نتیجه گرفت که گرافن حاصل از این فرآیند، چندلایه است. از طرفی، مطابق شکل ۲، مقدار FWHM برای قله ۲D در نمونه ۶Asp بیشتر از نمونه ۶Bsp است. این روند ۶Bsp کاهشی نمایانگر تعداد لایه‌های کمتر در نمونه ۶Asp است. این موضوع بیانگر آن است که افزایش نسبت وزنی گلوله به گرافیت باعث کاهش ضخامت نمونه‌ها نشده است. همچنین بیشتر بودن نسبت I_D/I_G برای نمونه ۶Asp در مقایسه با نمونه ۶Bsp تأییدی بر افزایش نقص‌های



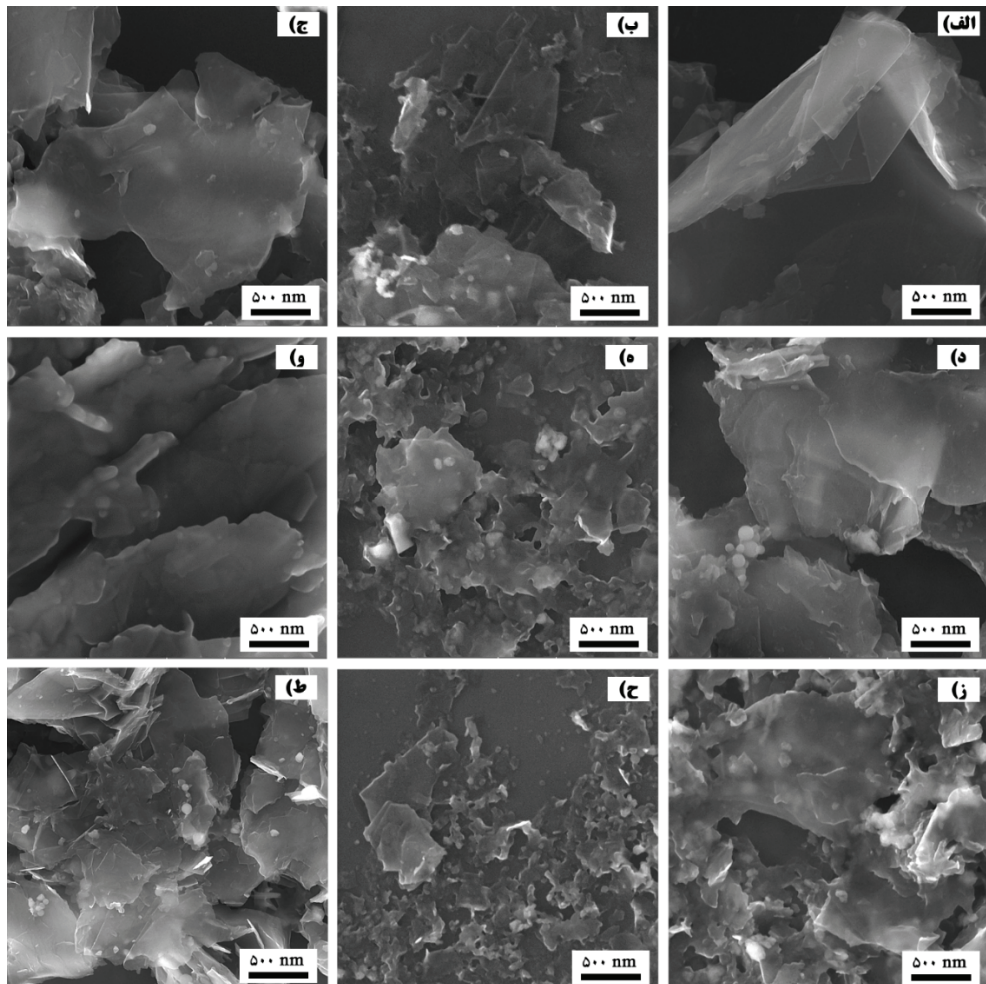
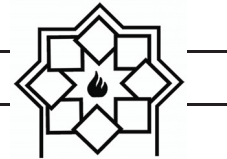
حيث كميته عيوب و ابعاد بزرگ در عين كميته ضخامت معرفی کرد. از طرف دیگر، با توجه به اینکه افزایش زمان آسیا تا ۱۲ ساعت باعث افزایش FWHM نشد، می‌توان دریافت که زمان و نسبت بهینه ای برای آسیا کردن و وزن گلوله به گرافیت برای دستیابی به کميته عيوب و در عين حال کميته ضخامت وجود دارد.

نمودار FESEM نمونه‌های گرافیت اولیه، ۳Bsp، 6Asp، 9Bsp و 12Bsp در شکل ۳ (الف-ط) نشان داده شده است. شکل ۳ (الف) ساختار لایه‌ای گرافیت مورد استفاده در این پژوهش را نشان می‌دهد. از طرفی، در شکل ۳ (ب و ج) قابل مشاهده است که نمونه‌ها از ورقه‌های نازکی از گرافیت اولیه تشکیل شده‌اند و ابعاد طولی آن‌ها در حدود یک میکرون تا چند میکرون است. همچنین در مقایسه‌ی شکل ۳ (الف) با ۳ (ب-ط) مشخص است که ابعاد طولی ورقه‌ها نسبت به گرافیت اولیه کاهش یافته است. اگرچه، این روش، انتخاب مناسبی برای مقایسه نیست، مقایسه‌ی دقیق با آنالیز طیفسنجی رامان در شکل ۲ انجام شده است.

بررسی تصویر نمونه‌ی 3Bss در شکل ۳ (د) نشان می‌دهد که حتی ریزترین ذرات جدا شده در این نمونه هنوز ابعاد طولی زیادی دارد. با مقایسه ابعاد طولی ذرات در نمونه‌ی 12Bss (شکل ۳ (و)) می‌توان اثر افزایش زمان آسیا در خرد کردن طولی ذرات را مشاهده کرد که این شواهد با نتیجه‌ی طیف‌های رامان این دو نمونه نیز در تطابق است. در این شکل آسیب دیدن و تغییر شکل لبه‌های ورقه‌ها به دلیل زمان زیاد آسیا کاملاً محسوس است. در شکل ۳ (ه) که مربوط به نمونه‌ی 12Bsp است، مشاهده می‌شود که با افزایش زمان آسیا، اندازه طولی ذرات کم شده است.

ذرات با عيوب بيشتر و احتمالاً ابعاد کوچکتر در سریز جمع می‌شوند و در مقابل بخش رسوب و ته نشین حاوی ذرات با ابعاد طولی بيشتر و عيوب كمتر است. اين نتیجه در تصاویر SEM نیز قابل مشاهده است. در واقع در فرآيند سانتريفيوژ ذرات پهن تر رسوب كرده است؛ زيرا FWHM که معياری از ضخامت ورقه‌ها است تفاوت معناداري ندارد. در واقع، با سانتريفيوژ عمدهاً ورقه‌ها براساس ابعاد طولی و نه لزوماً بر مبنای ضخامت از هم جدا شده‌اند. از سوی دیگر می‌توان چنین برداشت کرد که با استفاده از سانتريفيوژ مرحله به مرحله می‌توان ابعاد طولی مختلف گرافن را طبقه‌بندی و از هم جدا کرد؛ درحالی‌که برای رسیدن به يك استاندارد مشخص ضخامت، پارامترهای آسیا می‌بايست بررسی و بهینه گردد و سانتريفيوژ تأثیری در جداسازی ضخامت نخواهد داشت.

علاوه بر این، در مقایسه‌ی افزایش زمان آسیا بر ابعاد طولی، عيوب و ضخامت ورقه‌ها (۳، ۶، ۹ و ۱۲ ساعت)، مقایسه‌ی آنديس I_D/I_G و FWHM نشان می‌دهد که افزایش زمان آسیا باعث افزایش عيوب و کاهش ابعاد طولی ورقه‌ها می‌شود؛ درحالی‌که ضخامت ورقه‌ها نیز تغييرات معناداري دارند. در واقع با افزایش زمان آسیا، روند افزایش عيوب و کاهش ابعاد طولی کاملاً یکنواخت است؛ درحالی‌که با مقایسه‌ی FWHM نمونه‌ها چنین روندی دیده نمی‌شود. همچنین، در مقایسه‌ی نتایج FWHM نمونه‌های رسوب مرحله‌ی دوم (3Bsp, 6Bsp, 9Bsp, 12Bsp)، نمونه‌ی 6Bsp کمترین FWHM را دارد و با توجه به I_D/I_G کمتر 6Bsp و 3Bsp در مقایسه با دو نمونه دیگر، می‌توان شش ساعت آسیا (6Bsp) را به عنوان بهینه زمان نمونه‌ها از



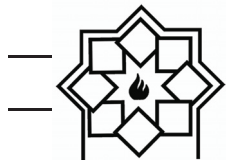
شکل ۳- تصاویر FESEM نمونه های (الف) گرافیت، (ب) Asp، (ج) Bsp، (د) Bss، (ه) Bssp، (ز) Bsss، (و) BUp، (ط) BUsp و (ط) BUsp(۶)

سانتریفیوژ مرحله ای امکان طبقه بندی نانوورقه ها به این طریق وجود دارد.

از دو نمونه 6Bsp و 6BUsp به منظور بررسی امکان عامل دار شدن ورقه های گرافن در شرایط آسیا در حضور اوره و ملامین، طیف سنجی FTIR گرفته شد که در شکل ۴ مشاهده می شود.

قله های C-H و C-N در عدد موج های cm^{-1} ۲۹۰۰، ۱۵۰۰، ۱۴۰۰، ۱۰۰۰ و ۹۰۰ مربوط به حلال NMP است [۱۷]. نتایج هر دو نمونه، تقریباً یکسان است، با این

از طرفی، در تصویر SEM شکل ۳ (ز)، اثر سانتریفیوژ در نمونه 12Bssp نشان داده شده است. با سانتریفیوژ کردن این نمونه به مدت ۱۵min و سرعت ۱۰۰۰rpm، ذرات مقداری آگلومره شده و ورقه های خردشده گرافن دوباره آگلومره شده اند. به علاوه، تصویر حاصل از نمونه 12Bsss در شکل ۳ (ح) نشان داد که ابعاد طولی ذرات گرافن کوچک تر شده است. این تصویر دلالت بر این دارد که حتی ریزترین ذرات که پس از سه مرحله سانتریفیوژ جدا شده اند، ورقه های بسیار خرد شده گرافن هستند و با کمک

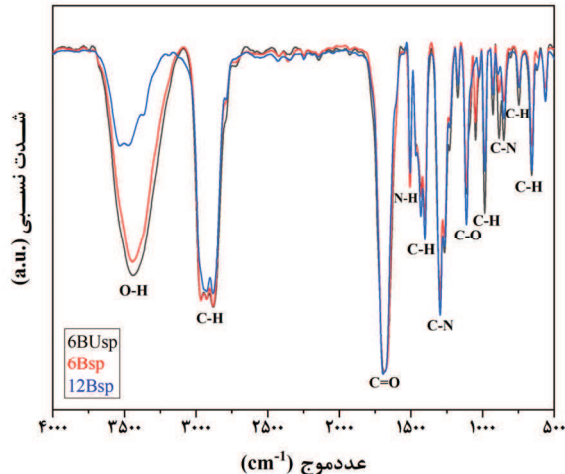


کاهش یافته است. در واقع این موضوع تأکیدی بر شکست ورقه ها و افزایش تعداد لبه هاست.

در انتهای، نتایج حاصل از آنالیزهای FESEM، طیف سنجی FTIR نشان داد که حالت بهینه با انتخاب نسبت وزنی گلوله به گرافیت ۱ به ۲۵، غلظت گرافیت در g/ml و زمان شش ساعت حاصل می‌شود. همچنین، ۲۰ NMP و عامل دارکردن گرافیت به وسیله آسیایی ماهواره‌ای در استفاده از مخلوط اوره و ملامین می‌تواند در ورقه‌ورقه کردن و عامل دارکردن گرافیت به وسیله آسیایی ماهواره‌ای در حالت تر مؤثر باشد. از طرفی، لی و همکاران [۱۸] با استفاده از یک گرم گرافیت و نسبت یک به یک بین، دو جزء NMP و اوره (هر کدام ۱۰۰ ml)، توانستند گرافنی با عیوب کم و تک لایه در مدت ۵ ساعت و با سرعت آسیایی ۳۰۰۰ rpm را به روش تورق تهیه کنند. همچنین، لیون و همکاران [۳] با استفاده از DMF یا آب (20 ml) و مجموع گرافیت و ملامین به مقدار ۳۰ mg با نسبت های ۱:۱، ۱:۳ و ۱:۵ در اتمسفر گرفته شده با نیتروژن و در مدت ۶۰-۳۰ دقیقه و با سرعت آسیایی ۲۵۰ rpm، گرافن ورقه ورقه شده را با نسبت آسیایی ۶-۲/۶ I_G/I_D تهیه کردند. بنابراین، مقادیر و زمان استفاده شده در بهینه سازی فرآیند ورقه ورقه کردن و دستیابی به گرافنی با خواص یکسان، نسبت به مقالات مشابه کمتر و مقرر به صرفه تر است.

۴ - نتیجہ گیری

در سنتز گرافن به روش آسیای مکانیکی تر، از سه مرحله بهینه‌سازی استفاده شد. در مرحله‌ی اول برای تعیین نسبت وزنی بهینه گرافیت به گلوله، نسبت وزنی گلوله به گرافیت ۱:۲۵، ورقه‌های نازک‌تر و در عین حال کمینه‌ی عیوب و ابعاد بزرگتری از گرافن را ایجاد کرد که برای ادامه‌ی کار



شکل ۱۲- طیف FTIR نمونه های Bsp و BUsپ

تفاوت که در نمونه‌ی 6BUsP (شکل ۴)، شدت قله ها کمی بیشتر است. هر دو نمونه در حالت مایع برای آنالیز آماده شده بودند، بنابراین اثر حلال NMP در نتایج مشخص است. در طیف مربوط به نمونه 6BUsP، شدت پیوندهای C-N بیشتر شده است؛ بنابراین می‌توان نتیجه گرفت که عامل دار شدن گرافن و پیوند با نیتروژن، رخ داده است. از طرف دیگر گروه های OH به طور چشمگیری در مقایسه با نمونه های بدون ملامین و اوره تغییر داشته است که نشان دهنده ای تشکیل گروه های OH بر روی سطح نانوورقه های گرافن و تقویت آب دوستی این نمونه نسبت به نمونه های دیگر است.

با بررسی طیف حاصل از نمونه‌ی 12Bsp و مقایسه دقیق با طیف حاصل از نمونه‌ی 6Bsp، مشاهده می‌شود که در نمونه‌ی 12Bsp، شدت پیوندهای O-H که به حلال مرتبط است کمتر و شدت پیوند C-H بیشتر شده است. با توجه به اینکه طبق مشاهدات قبلی در نمونه‌ی 12Bsp ورقه‌های گرافن خردتر شده بودند؛ پس تعداد لبه‌ها و در نتیجه پیوندهای مرتبط با لبه‌ها افزایش و اثر متقابل حلال

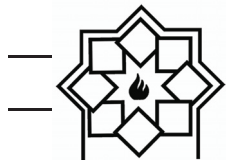


- Vazquez, "Few-layer graphenes from ball-milling of graphite with melamine", *Chemical Communications*, Vol. 47, 10936-10938, 2011.
- [4] A.-S. Al-Sherbini, M. Bakr, I. Ghoneim, M. Saad, "Exfoliation of graphene sheets via high energy wet milling of graphite in 2-ethylhexanol and kerosene", *Journal of Advanced Research*, Vol. 8, 209-215, 2017.
- [5] Y.-K. Yang, C. Han, B. Jiang, J. Iocozzia, C. He, D. Shi, T. Jiang, Z. Lin, "Graphene-based materials with tailored nanostructures for energy conversion and storage", *Materials Science and Engineering R: Reports*, Vol. 102, 1-72, 2016
- [6] Y. Hernandez, M. Lotya, D. Rickard, S.D. Bergin, J.N. Coleman, "Measurement of multicomponent solubility parameters for graphene facilitates solvent discovery", *Langmuir*, Vol. 26, 3208-3213, 2010.
- [7] H. Ghanbari, M. Shafikhani, M. Daryalaal, "Graphene nanosheets production using liquid-phase exfoliation of pre-milled graphite in dimethylformamide and structural defects evaluation", *Ceramics International*, Vol. 45, 20051-20057, 2019.
- [8] م. شریف اسکندرانی، ترجمه م.ر. گواهی، "آلیاژسازی مکانیکی: نانوتکنولوژی-علم مواد و متالورژی پودر"، چاپ دوم، تهران، نشر طراح، ۱۳۹۶.
- [9] M. Yi, Z. Shen, "A review on mechanical exfoliation for the scalable production of graphene", *Journal of Materials Chemistry A*, Vol. 3, 11700-11715, 2015.
- [10] A.H. Castro Neto, F. Guinea, N.M.R. Peres, K.S. Novoselov, A.K. Geim, "The electronic properties of graphene", *Reviews of Modern Physics*, Vol. 81, 109-162, 2009.

استفاده شد. در مرحله‌ی دوم، برای به دست آوردن زمان بهینه‌ی آسیا، از بین نمونه‌های آسیا شده در زمان‌های ۳، ۶، ۹ و ۱۲ ساعت، نمونی شش ساعت آسیا شده نتایج مناسب تری از حیث کیفیت و کمینه شدن عیوب و ضخامت نشان داد؛ زیرا این نمونه دارای عیوب ساختاری کمتر، ابعاد طولی بیشتر و ضخامت کمتر ورقه‌های گرافن در مقایسه با سایر نمونه‌ها بود. در مرحله‌ی سوم برای بررسی افزودنی‌ها در لایه برداری و عامل دار کردن گرافن، مخلوط مولی یکسان ملامین و اوره با درصد وزنی ۱/۸٪ گرافیت نتایج امیدبخشی را نشان داد که نیاز به بررسی‌های تکمیلی دارد. نتایج نشان داد که سانتریفیوژ پس از مرحله‌ی اول و جدا کردن پولک‌های گرافیت بازنشده، تنها به جداسازی ورقه‌های با ابعاد طولی کوچک‌تر کمک می‌کند و با استفاده از سانتریفیوژ چند مرحله‌ای در این روش نمی‌توان ضخامت‌های کمتر را جدا کرد؛ اگرچه می‌توان از سانتریفیوژ مرحله‌ای برای طبقه‌بندی و جدایش ورقه‌ها از نقطه نظر ابعاد طولی استفاده کرد.

۵- مراجع

- [1] W. Lu, J.-B. Baek, L. Dai, "Carbon nanomaterials for advanced energy systems: advances in materials synthesis and device applications", John Wiley & Sons, 2015.
- [2] M. Chen, C. Zhang, X. Li, L. Zhang, Y. Ma, L. Zhang, X. Xu, F. Xia, W. Wang, J. Gao, "A one-step method for reduction and self-assembling of graphene oxide into reduced graphene oxide aerogels", *Journal of Materials Chemistry A*, Vol. 1, 2869-2877, 2013.
- [3] V. Leon, M. Quintana, M.A. Herrero, J.L. Fierro, A. de la Hoz, M. Prato, E.



- [11] V. Georgakilas, M. Otyepka, A.B. Bourlinos, V. Chandra, N. Kim, K.C. Kemp, P. Hobza, R. Zboril, K.S. Kim, "Functionalization of graphene: covalent and non-covalent approaches, derivatives and applications", *Chemical Reviews*, Vol. 112, 6156-6214, 2012.
- [12] W. Zhao, M. Fang, F. Wu, H. Wu, L. Wang, G. Chen, "Preparation of graphene by exfoliation of graphite using wet ball milling", *Journal of Materials Chemistry*, Vol. 20, 5817-5819, 2010.
- [13] A.E. Del Rio-Castillo, C. Merino, E. Díez-Barra, E. Vázquez, "Selective suspension of single layer graphene mechanochemically exfoliated from carbon nanofibres", *Nano Research*, Vol. 7, 963-972, 2014.
- [14] S. Alwarappan, A. Kumar, "Graphene-based materials: science and technology", CRC Press, 2013.
- [15] D. Graf, F. Molitor, K. Ensslin, C. Stampfer, A. Jungen, C. Hierold, L. Wirtz, "Spatially resolved Raman spectroscopy of single-and few-layer graphene", *Nano Letters*, Vol. 7, 238-242, 2007.
- [16] B. Jayasena, S. Subbiah, "A novel mechanical cleavage method for synthesizing few-layer graphenes", *Nanoscale Research Letters*, Vol. 6, 1-7, 2011.
- [17] I.Z. Zahariev, E. Hristoforou, I. Markova, "Template synthesis and study of Co-Ni core/carbon shell nanoparticles", *Journal of Chemical Technology and Metallurgy*, Vol. 52, 400-414, 2017.
- [18] C.-S. Lee, S.J. Shim, T.H. Kim, "Scalable Preparation of Low-Defect Graphene by Urea-Assisted Liquid-Phase Shear Exfoliation of Graphite and Its Application in Doxorubicin Analysis", *Nanomaterials*, Vol. 10, 267, 2020.